



استخدام بيانات الانعكاس الطيفي لمحصول الذرة الصفراء في تقدير الصفات الخضرية والعلفية

[١١]

غدير يوسف حميدان^١ - موسى أمين عبود^٢ - ناصر طراف ابراهيم^١

١- الهيئة العامة للاستشعار عن بعد - دمشق - سوريا

٢- كلية الزراعة - جامعة دمشق - دمشق - سوريا

نضج النورات المذكورة لتزداد شدة العلاقة خلال هذه المرحلة وما يليها .
(٢) علاقة طردية بين المجال (٨ ٨٧٢) نانومتر ومستويات التزود المائي للنباتات خلال جميع مراحل النمو .

(٣) علاقة طردية بين قيم دليل الغطاء النباتي NDVI ومستويات الري ثم التسميد الأزوتي على النباتات خلال جميع مراحل النمو .

(٤) تم استنباط نماذج طيفية لتقدير بعض الصفات الخضرية والعلفية : اليخضور (CH):

$$CH = -14.076 \ln(A672) - 20.909$$

$$\text{الرطب (FW): } FW = 4.1076 e^{7.448 (\lambda 872)}$$

$$\text{والوزن الجاف (DW): } DW = 0.6276 e^{7.712 (\lambda 872)}$$

$$\text{الأوراق (LAI): } LAI = 0.4382 e^{3.0721 NDVI}$$

الكلمات المفتاحية: الانعكاس الطيفي ; (NDVI) ; Normalized Difference Vegetation Index ; صفت خضرية وعلفية ; نماذج طيفية

الموجز

تم زراعة محصول الذرة الصفراء (*Zea mays*) تحت مستويات من عامل الري [١٠٠% (٦٩٩١ م^٢/هـ)، ٥٠، ٢٥%] ومستويات من عامل التسميد [١٠٠% (١٢٠ وحدة سمادية/هـ)، ٥٠، ٠%]، وأخذت البيانات الطيفية ضمن المدى الموجي ٣٥٠-٢٥٠٠ نانومتر عند كل ١ نانومتر ثم تم تحليلها وتجميعها ضمن قنوات طيفية وحساب الدليل النباتي NDVI، كما تم تسجيل بعض البيانات الخضرية والعلفية بشكل متزامن مع البيانات الطيفية بعد ٢٠ يوم من تاريخ الزراعة وبفاصل زمني من ٧ - ١٥ يوم بين القراءة والأخرى.

المقدمة

تتطلب مراقبة تغيرات محاصيل العلف على مساحات واسعة أخذ عدد كبير من القياسات خلال مراحل النمو المختلفة لتحديد الإنتاجية وتوقيت مرحلة

وقد تم التوصل إلى وجود

(١) علاقة عكسية بين المجال (٨ ٦٧٢) نانومتر ومستويات التسميد الأزوتي لكن حتى مرحلة

(سلم البحث في ٢٢ يونيو ٢٠١٠)

(ووفق على البحث في ١٥ سبتمبر ٢٠١٠)

الإنتاج بمقدار ما يسببه نقص الماء فيؤدي الإجهاد المائي الشديد إلى موت النباتات، ولكن النقص في إنتاج النباتات المعرضة للإجهاد الرطوبي دون موتها هو الحالة المألوفة في غالبية البيئات ويعتبر توقف النمو في النبات هو الأكثر شيوعاً للإجهاد الرطوبي وبالتالي تتميز هذه النباتات بنقص المساحة الورقية وبالتالي نقص في حجم سطح التمثيل الضوئي إضافة لإغلاق المسام وامتصاص CO2 وبالتالي إلى كتلة حيوية أصغر ، كما بينت الدراسات التي أجراها Farre, 1998 أن الذرة المزروعة تحت ظروف الإجهاد المائي تتركز في الأزهار ويتناقص دليل مساحة الأوراق فيها مع تناقص كمية مياه الري المضافة ووجد Yordanow, 2002 أنه عند انخفاض كمية مياه الري ورطوبة التربة يؤدي إلى تشويه الصانعات الخضراء (Chlorophyll) في النسيج المتوسط لأوراق النبات كما أوضحت زينو وآخرون ٢٠٠٧. تفوق الطرز الوراثية للذرة الصفراء بالمساحة الورقية عند مستوى رطوبة تربة ١٠٠ % ويليها المستوى ٧٥، ٥٠، ٢٥ % على التوالي.

ثانياً- الصفات الطيفية

تتمحور بيانات الانعكاس الطيفي التي تُستخدم في تقدير الصفات الخضرية و العلفية وأهمها : اليخضور (Chlorophyll)، الكتلة الحيوية (Biomass)، المحتوى الأزوتي (N content) ، دليل مساحة الأوراق (LAI = Leaf Area Index) في المحورين التاليين :

١- الانعكاس الطيفي ضمن حزام طيفي واحد (One band reflectance)

تستخدم بيانات الانعكاس الطيفي لحزام طيفي واحد (سواء في نطاق الأشعة الحمراء (Red) أو تحت الحمراء (Infrared)) عن الغطاء النباتي في تقدير الصفات الفيزيو- بيئية لهذا الغطاء النباتي:

الاستفادة القصوى من هذه المحاصيل و التي تختلف فيما بينها في مرحلة النمو من حقل لآخر على امتداد المساحات المزروعة بالمحاصيل العلفية ، إضافة إلى أهمية إجراء التحاليل التي تتصلب أخذ عينات نباتية كثيرة و تحضيرها و تحليلها لتحديد القيمة الغذائية بما يكون ضمناً من وقت و جهد و تكلفة و صعوبة الوصول أحياناً إلى كافة الحقول المزروعة بهذه المحاصيل.

تستطيع تقنية الاستشعار عن بعد مراقبة تغيرات مكونات النمو و كميتها خلال موسم النمو و بسهولة كبيرة على مساحات شاسعة و بدقة كبيرة ، عدا عن كونها لا تحتاج إلى أخذ عينات وتحليلها مما يُمكن من رصد هذه الصفات العلفية و الخضرية بقليل من الوقت والجهد وبالسرعة الكلية .

الدراسة المرجعية

تتأثر الصفات الخضرية و العلفية لمحصول الذرة الصفراء بالوسط الذي تنمو فيه وخاصة المستويات المختلفة من الري والتسميد ، وبالتالي تتأثر قيم الانعكاس الطيفي لهذه النباتات النامية في تلك الأوساط .

أولاً- الصفات الخضرية

تتأثر الصفات الخضرية و العلفية بالمقومات الأساسية لنمو النبات الطبيعية منها كالتربة والعوامل الجوية والعوامل الزراعية كالتسميد والري ؛ وقد بين Hussain and Rahman, 1988 أن الإجهاد المائي خلال فترة النمو الخضري للذرة يؤدي إلى ضعف نمو الأوراق وبالتالي إلى النقص في المساحة الورقية، كما أشارت بعض الدراسات (Wolfe et al 1988 and Schepers et al 1992) أن محتوى النبات من اليخضور أبدى علاقة كبيرة مع التسميد الأزوتي وخاصة عند النقص في كمية السماد الأزوتي المضاف بشكل كبير، و أوضح جودة وجابر ١٩٩٧ بأنه لا يوجد عامل يسبب ضياعاً في

- دليل مساحة الأوراق (Perumal et al 1999 and Clevers 1988)
- إنتاجية المادة الجافة (Perumal et al 1999)
- ٢- الأدلة الطيفية النباتية (Spectral Vegetation Indices (VIs))
- تُعرف الأدلة الطيفية النباتية على أنها تحويلات رياضية مصممة لتقدير المساهمة الطيفية عن الغطاء النباتي المستهدف. هذا وتعتمد أغلب الأدلة الطيفية النباتية في مدخلاتها على كل من الأشعة الحمراء وتحت الحمراء. مثل الـ (NDVI) (Normalized Difference Vegetation Index) الذي يحسن التمييز الطيفي للغطاء النباتي، فالنبات يتميز من غيره بعكس كمية قليلة من الأشعة الحمراء، وعكس كمية كبيرة من الأشعة تحت الحمراء القريبة، لذلك فإنه يمكن الربط بين الكتلة الحيوية للنباتات وقيم الدليل النباتي فارتبط الدليل النباتي (NDVI) طرداً مع كل من:
 - محتوى اليخضور (Abd El-Gawad et al 2004 a&b)
 - دليل مساحة الأوراق (Hinzman et al 1986; Duke & Guèrif, 1998; Perumal et al 1999 and Abd El-Gawad et al 2004 a&b)
 - الكتلة الحيوية (Tucker, 1979; Helst et al 1988; Li et al 2001b; Zaki et al 2001 and Abd El-Gawad et al 2004 a&b)
 - المادة الجافة (Perumal et al 1999).
- كما يُحسّن استخدام النماذج الرياضية الطيفية ثنائية البعد بالأشعة الحمراء وتحت الحمراء القريبة من تقدير الصفات الخضرية النباتية و أهمها دليل مساحة الأوراق (Ibrahem et al 2010)، وبين Blackmer et al 1994 أن الانعكاس عند المجال (٥٥٠ نانو متر) هو الأفضل للتفريق بين الذرة المسمدة وغير المسمدة، وأظهرت نتائج
- الانعكاس في مجال الأشعة الحمراء (Red reflectance) والذي يتناسب بشكل عكسي مع بعض الصفات النباتية، كما استخدم في تقدير هذه الصفات النباتية:
 - مستويات وكمية اليخضور في أوراق النباتات (Tucker, 1977 & 1978; Inoue, 1988 and Filella et al 1995)
 - الكتلة الحيوية (Tucker, 1979; Myers, 1983; Neale & Bausch, 1983; Elliott & Regan, 1993 and Thenkaball et al 1994,1999)
 - دليل مساحة الأوراق (Thenkaball et al 1994 and Hinzman et al 1986)
- الانعكاس في مجال الأشعة تحت الحمراء (Infrared reflectance) والذي يمكن استعراضه في النقاط التالية:
 - يرتبط الانعكاس في مجال الأشعة تحت الحمراء القريبة طرداً مع الصفات التالية:
 - اليخضور والمحتوى الأزوتي (Bausch and Duke 1996)
 - الكتلة الحيوية (Tucker 1979; Kollenkark et al 1982; Thenkaball et al 1994 and Li et al 2001a (بينما وجد (Elliott and Regan, 1993) أن علاقة الأشعة تحت الحمراء (IR) ضعيفة مع إنتاجية الكتلة الحية في المحاصيل الحبية.
 - دليل مساحة الأوراق (Hinzman et al 1986; Thenkaball et al 1994 and Kollenkark et al 1982)
 - تُعتبر الأشعة تحت الحمراء (IR) من أفضل القنوات الطيفية في تمييز حالة النباتات، إضافة إلى تقدير الكتلة الحيوية (Myers, 1983) وترتبط الأشعة تحت الحمراء (IR) طرداً مع:
 - مساحة الأوراق (Wanjura and Hatfield, 1986)

مواد وطرائق البحث

المحصول: استخدمت الذرة الصفراء (Zea) Corn (Mays) من نباتات العائلة النجيلية Gramineae الصنف غوطة ٨٢.

مكان الدراسة: حقل زراعي في حرم الهيئة العامة للاستشعار عن بعد، مقسم حسب عاملي الري والتسميد إلى ٣٦ قطعة تجريبية بمساحة ١٦ م^٢ للقطعة التجريبية الواحدة، تمت عمليتي الفلاحة والفرامة لها، ومسمدة بالتسميد الأساسي بالفوسفات والبوتاس والسماذ العضوي حسب جدول الاحتياج السماذي الصادر عن وزارة الزراعة (النشرة الإرشادية لاحتياجات المحاصيل ٢٠٠٦).

تاريخ وطريقة الزراعة: تمت الزراعة بتاريخ ٢٠-٠٦-٢٠٠٩ على سطور، بأبعاد ٣٥ سم بين السطور و٢٠ سم بين النباتات، بحيث تم زراعة نباتين في الحفرة الواحدة.

عوامل الدراسة

١- الري : تم ري النباتات على ثلاث مستويات كان المستوى الأول يغطي كامل احتياجات النبات (١٠٠%) [٦٩٩١ م^٣/هـ حسب جدول الاحتياج المائي الصادر عن وزارة الزراعة ٢٠٠٩] و الثاني ٥٠% من الكمية الموصى بها و الثالث ٢٥% منها. ٢- التسميد الأزوتي: تم التسميد الأزوتي النباتات على ثلاث مستويات المستوى الأول يغطي كامل احتياجات النبات (١٠٠%) [١٢٠ وحدة سماذية/هـ حسب جدول الاحتياج السماذي الصادر عن وزارة الزراعة 2006] و الثاني ٥٠% من الكمية الموصى بها و الثالث ٠%.

موزعة في أربع مكررات ضمن تصميم القطاعات العشوائية الكاملة.

منهجية البحث

تتمثل في طبيعة أخذ البيانات ثم تسجيلها وتبويبها ومعالجتها وتصنيفها وبعد ذلك تحليلها وإصدار النتائج.

Osborne et al 2002 أن توقع إنتاج الذرة من الوزن الرطب خلال مراحل النمو كان أفضل ما يمكن في المجالات الطيفية التالية (٥١٥-٥٤٥-١٤٥٥-٢٠٤٥-٢١٨٠-٢١٩٠) لارتباط قوي و موجب بلغ (٠,٩٤) وكذلك أثبت Gilbert et al 1996 أن الانعكاس الطيفي عن الذرة يرتبط معنوياً مع الكتلة الحيوية ودليل مساحة الأوراق خلال مراحل النمو المختلفة وأن المجال تحت الأحمر والـ NDVI مفيدان جداً في توصيف المرحلة الفيزيولوجية لنباتات الذرة لأن كلاهما يرتبطان معنوياً مع المتغيرات الفيزيولوجية لهذه النباتات كالكتلة الحيوية والوزن الجاف ودليل المساحة الورقية، وأوضح Calera et al 2004 بأن العلاقة بين الوزن الجاف والـ NDVI تكون خطية خلال حياة النبات كما أظهرت دراسة أخرى لـ Lizaso et al 2002 أن العلاقة بين الـ NDVI ودليل المساحة الورقية تكون أكبر ما يمكن في مرحلة ظهور النورات.

أهداف البحث

يهدف هذا البحث إلى دراسة العلاقة بين قيم الانعكاس الطيفي ضمن المدى الموجي ٣٥٠-٢٥٠٠ نانومتر وشواهد النمو النباتي التقليدية لمحصول الذرة الصفراء المأخوذة ، ككميار في تحديد قيمة الصفات الخضرية والعلفية (كالكتلة الحية والمادة الجافة ودليل المساحة الورقية وتركيز اليخضور) وذلك لتحديد القنوات الطيفية والأدلة النباتية ذات العلاقة في رصد هذه الصفات تحت تأثير المتغيرات والمتطلبات البيئية من خصوبة تربة متمثلة بعامل التسميد الأزوتي والتزود المائي متمثلاً بعامل الري ومن ثم بيان العلاقة القائمة بين هذه القيم الطيفية والشواهد العلفية السابقة بحيث يتمكن من تحديد قيمة الصفات الخضرية والعلفية المحصولية خلال مراحل النمو المختلفة دون الحاجة إلى عمليات تقليدية من حش ووزن وتحليل ولعينات كثيرة ، وذلك باستنباط علاقة قيمة الانتاجية العلفية المحصولية من البيانات الطيفية وعلى كامل المساحات الخضرية .

ثانياً- معالجة البيانات الطيفية

- تحفظ البيانات لكل قراءة في ملف بيانات على هيئة .dat
- يتم عرض وتحويل هذه الملفات ببرنامج (ViewSpecPro) الى ملفات اكسل Excel .
- حساب الدليل النباتي الخضري NDVI وفق المعادلة التالية :
$$\text{NDVI} = \frac{(\text{NIR} - \text{RED})}{(\text{NIR} + \text{RED})}$$
 ، وذلك حسب (Rouse et al (1974) .
- تحديد أي القنوات الطيفية من بين (٢١٥٠) قناة الممتدة من ٣٥٠ - ٢٥٠٠ نانومتر ذات العلاقة في رصد المتغيرات في القيم العلفية و الخضرية تحت تأثير المعاملات المدروسة، باستخدام برنامج الفصل الطيفي فائق الدقة (HySCAP 0.1)
- تجميع القنوات الطيفية المتماثلة في تحديد العلاقات باستخدام نفس البرنامج و التي أهمها:

القناة	1	2	3	4	5
مركز المجال	355	395	465	555	672
من	350	385	450	540	660
المجال	إلى	405	480	570	685
القناة	6 <td>7 <td>8 <td>9 <td>10 </td></td></td></td>	7 <td>8 <td>9 <td>10 </td></td></td>	8 <td>9 <td>10 </td></td>	9 <td>10 </td>	10
مركز المجال	720	872	982	1077	1197
من	7.5	860	970	1060	1185
المجال	إلى	735	885	1095	1210
القناة	11 <td>12 <td>13 <td>14 <td>15 </td></td></td></td>	12 <td>13 <td>14 <td>15 </td></td></td>	13 <td>14 <td>15 </td></td>	14 <td>15 </td>	15
مركز المجال	1275	1450	1675	2070	2285
من	1265	1440	1660	2050	2265
المجال	إلى	1285	1460	2090	2305

ثالثاً- التحليل الاحصائي واستنباط المعادلات

- 1) تحليل التباين لتحديد الفروق الاحصائية بين المعاملات المدروسة من الناحية الخضرية والعلفية وفق تصميم القطاعات العشوائية الكاملة باستخدام برنامج SPSS .

أولاً- تسجيل القراءات: أخذت القراءات الطيفية والعلفية بشكل متزامن بعد ٢٠ يوماً من تاريخ الزراعة و بفواصل زمني يتراوح من ٧ - ١٥ يوم .

أ- تسجيل القراءات العلفية و الخضرية

تم أخذ العينات من كل قطعة تجريبية على حدى وفق التواريخ المحددة سابقاً خلال مراحل النمو من مساحة عينة ٧٠٠ سم² تمثل نباتين ، وسجلت البيانات التالية :

- ١- الوزن الرطب FW خلال المراحل المختلفة بعد الحش مباشرة بواسطة ميزان حقلي .
- ٢- مساحة الأوراق الخضراء بواسطة جهاز قياس مساحة الأوراق LI-3000C خلال مراحل النمو كافة ثم يحسب دليل مساحة الاوراق LAI .
- ٣- الوزن الجاف DW باستخدام المجفف على حرارة ١٠٥ م لمدة ٣ ساعات .
- ٤- كلوروفيل أوراق النبات CH بواسطة جهاز قياس الكلوروفيل (CCM 200) .

ب- تسجيل القراءات الطيفية ومعالجة البيانات

تم تسجيل القراءات الراديومترية بواسطة جهاز سبيكتروراديو متر المحمول حقلياً Field Spec Pro إذ يقوم الجزء المستشعر فيه بتسجيل كل الانعكاسات الطيفية بأطوال موجية من ٣٥٠ الى ٢٥٠٠ نانومتر بفواصل طيفي ١ نانومتر من مساحة مستهدفة حسب ارتفاع الجزء المستشعر عن النباتات وفق زاوية مسح قدرها ٢٥° وبالتالي تم تثبيت الارتفاع عن قمة النبات خلال جميع مراحل النمو حوالي 1.75 m وبالتالي المساحة المسوحة طيفياً كانت حوالي عن 5000 cm² خلال جميع المراحل. يتم تسجيل القراءات الياً وفق برنامج (RS3) المزود به الجهاز، حيث يتم اخذ معايرة على لوحة بيضاء معيارية تحقق انعكاسية تامة للاشعة الشمسية ثم قراءة المساحة الخضرية النباتية المستهدفة.

الوزن الجاف فقد كان الازدياد في الوزن في كافة مراحل النمو المدروسة تدرجت الفروق وفق معنوية احصائية عند مستوى ٥ % .

٢-١- تأثير عاملي الري والتسميد الازوتي على الصفات العلفية والخضرية خلال حياة النبات

يبين الجدول (1) متوسط قيمة الليخضور خلال حياة النبات ككل فنجد التأثير الواضح لعامل التسميد حيث وصلت قيمة الليخضور إلى 27.12 CCI عند مستوى تسميد يغطي كامل احتياجات النبات بينما انخفض كثيراً ليصل إلى 9.36 CCI في حال عدم إضافة السماد الازوتي للنبات، بينما كانت القيم في مستوى ري 100% I قد وصلت إلى 20.77 CCI وانخفض إلى 15.77 CCI عند انخفاض الري حتى 25% I فحققت المعاملة (I 100% ، N 100%) أعلى قيمة لليخضور خلال حياة النبات ككل فبلغت 30.46 CCI. بينما كانت المعاملة (I 25% ، N 0%) أقل المعاملات قيمة لليخضور فبلغت 8.40 CCI. أما ضمن مستوى الري الواحد فكانت قيمة الليخضور تتناقص مع تناقص كمية السماد المعطى للنبات فضمن مستوى ري 100 % I كانت أكبر قيمة لليخضور عند مستوى تسميد ازوتي كامل فبلغت 30.46 CCI وانخفضت القيمة مع انخفاض مستوى التسميد حتى 50 % N وبلغت 21.58 CCI واصبحت 10.26 CCI عند مستوى 0% N بينما كانت القيم متقاربة عند مستوى تسميد 100% N لكن ضمن مستويات الري المختلفة فكانت قيمة الليخضور عند مستوى ري 100 % I قد بلغت 30.46 CCI وكانت 28.28 CCI و 22.61 CCI عند مستويي ري (50% ، 25% I) على التوالي ، وكانت الفروق المبينة قد تدرجت وفق معنوية إحصائية عند مستوى معنوية ٥ %؛ مما يعني أنه في حال عدم التسميد الأزوتي فإن تركيز الليخضور يبقى منخفضاً بغض النظر عن مستويات التزود المائي ، ولكن عند توفر كامل احتياجات التسميد الازوتي فإن عامل الري

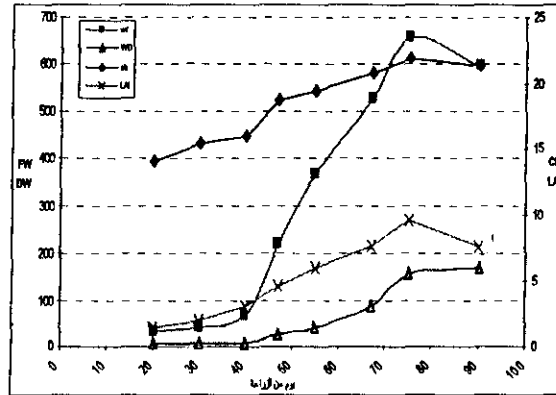
٢) تحليل التباين لتحديد الفروق الاحصائية بين المعاملات المدروسة من الناحية الطيفية وفق تصميم القطاعات العشوائية الكاملة باستخدام برنامج الـ SPSS
٣) حساب معامل الارتباط بين الصفات الخضرية والعلفية وبين المؤشرات الطيفية .
٤) تحليل الانحدار واستنباط المعادلات التي تقدر الصفات الخضرية والعلفية من القيم الطيفية.

النتائج والمناقشة

١- انصفات العلفية والخضرية

١-١- الصفات العلفية والخضرية خلال مراحل النمو

يوضح الشكل رقم (١) قيم الصفات العلفية والخضرية لنباتات الذرة خلال مراحل النمو بغض النظر عن عاملي التسميد الازوتي والتزود المائي فنجد أن قيمة الليخضور تتزايد خلال مراحل النمو.



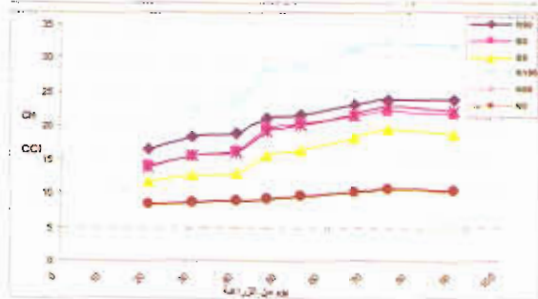
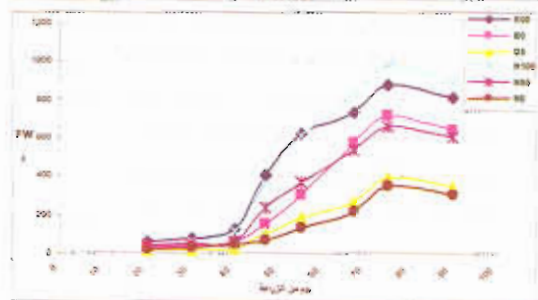
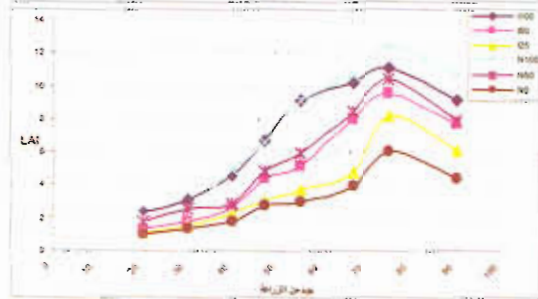
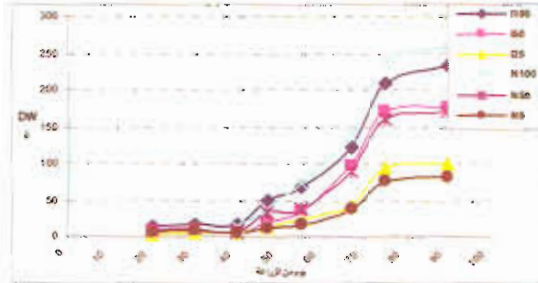
شكل رقم (١). قيم الصفات الخضرية والعلفية للذرة خلال مراحل النمو في وحدة المساحة المدروسة

لتصل أوجها في المرحلة السابعة لتبدأ بالانخفاض بعد ذلك ، وكانت الفروق معنوية عند مستوى ٥ % وبالنسبة لصفتي الوزن الرطب و دليل مساحة الأوراق سلكتنا نفس سلوك صفة الليخضور وبفروق معنوية أيضاً عند مستوى ٥ % . أما بالنسبة لصفة

جدول رقم ١. متوسط قيم الصفات العلفية والخضرية للذرة في وحدة المساحة المدروسة خلال حياة النبات تبعاً لاختلاف عملي الري والتسميد خلال حياة النبات

جدول رقم ١. متوسط قيم الصفات العلفية والخضرية للذرة في وحدة المساحة المدروسة خلال حياة النبات تبعاً لاختلاف عملي الري والتسميد خلال حياة النبات

تسميات	اليخضور (CCI)	الوزن الجاف (غ/م ²)	الوزن الجاف (غ/م ²)	دليل مساحة الأوراق	
N	N100	27.12	460.86	90.09	6.99
	N50	18.82	311.03	64.66	5.04
	N0	9.36	172.13	36.13	3.86
	LSD 5%	0.08	10.25	2.73	0.18
I	I100	20.77	482.06	96.49	7.33
	I50	18.76	315.92	64.53	5.55
	I25	15.77	146.04	29.86	3.02
	LSD 5%	0.17	20.50	5.47	0.35
I100%	N100	30.46	686.84	131.64	9.77
	N50	21.58	479.23	94.82	6.86
	N0	10.26	216.50	43.80	4.35
I50%	N100	28.28	491.88	101.21	6.83
	N50	18.57	279.76	58.71	5.15
	N0	9.42	161.45	34.07	3.15
I25%	N100	22.61	267.45	56.62	5.38
	N50	16.30	188.77	40.06	4.63
	N0	8.40	60.17	11.72	1.56
LSD 5%	0.17	20.50	5.47	0.35	



شكل رقم ٢. قيم الصفات الخضرية والعلفية لنباتات الذرة خلال مراحل النمو تحت تأثير مستويات مختلفة من التسميد الأزوتي والتزود المائي

يتحكم بمستوى الاستفادة من السماد الأزوتي المضاف وبالتالي تركيب اليخضور في النبات وهذا ما اتفق مع Shepers et al 1992 and Wolfe et al 1988. أما بالنسبة لصفات الوزن الرطب و الوزن الجاف ودليل مساحة الأوراق فقد سلك نفس سلوك اليخضور وكذلك كانت هذه الفروق معنوية عند مستوى 5% وتمثل ذلك مع زينو ٢٠٠٧ و جودة و جابر ١٩٩٧.

٣-١- تأثير عملي الري والتسميد الأزوتي على الصفات العلفية والخضرية خلال مراحل النمو

يبين الشكل (٢) قيم الصفات العلفية والخضرية لنباتات الذرة خلال مراحل النمو تحت تأثير مستويات مختلفة من التسميد الأزوتي والتزود المائي. فقد كانت أعلى قيم تركيز اليخضور في أوراق النبات بالنسبة لمعاملة الري تحت مستوى ري يغطي كافة احتياجات النبات 100% I وخلال جميع مراحل النمو المدروسة وانخفض عند مستوى 50% I لیبسـلغ أدناه عند مستوى 25% I بفروق إحصائية عند مستوى معنوية 5% خلال جميع مراحل النمو فكانت قيمة اليخضور

منها خلال نفس مراحل النمو تحت تأثير مستوى تسميد آزوتي %100 N بينما في مراحل النمو المتقدمة وتحت أعلى مستويات للعاملين المدروسين يأخذ التسميد الأعلى دوراً أكبر مقارنة مع السري ذي المستوى الأعلى اكن العكس تحت تأثير المستويات الأدنى للعاملين المدروسين فقد كانت قيم الوزن الرطب تحت مستوى ري منخفض أعلى منها تحت تأثير مستوى آزوتي منخفض مما يعني أهمية الدور التفاعلي بين العاملين المدروسين في التأثير على الوزن الرطب للذرة الصفراء خلال مراحل النمو مع تغليب مستوى الري تحت محدودية التسميد الأزوتي وتضاعف دور التسميد الأزوتي عند توفر كامل متطلبات الري وهذا ما اتفق مع جودة وجابر ١٩٩٧.

هذا وقد سلكت صفة الوزن الجاف تحت تأثير مستويات مختلفة للعاملين المدروسين على نبات الذرة الصفراء خلال مراحل النمو نفس سلوك الوزن الرطب (الشكل ٢).

كما يوضح الشكل بالنسبة لدليل مساحة الأوراق تفوق تأثير عامل الري %100 ا في المراحل الأولى (حتى ٤٧ يوم) ليتفوق تأثير التسميد الأزوتي الكامل %100 N في المراحل التالية وكل ذلك كان عند التزود الكامل للعاملين بينما وعلى كافة المستويات فإن عامل الري بالمستوى الأدنى تفوق على مستوى التسميد الأزوتي الأدنى مما يعني أن التأثير التفاعلي المتبادل بين التسميد الأزوتي والتزود المائي مع تفوق تأثير عامل الري بدعم من التسميد الأزوتي كبير في التأثير على صفة دليل مساحة الأوراق .

١-٤- تأثير التفاعل لمستويات الري والتسميد الأزوتي على الصفات العلفية والخضرية خلال مراحل النمو

يبين الجدول (٢) قيم الصفات العلفية والخضرية لنباتات الذرة خلال مراحل النمو تحت تأثير مستويات مختلفة من التسميد الأزوتي والتزود المائي ، فتزداد قيمة هذه الصفات (يخضور النبات الوزن الرطب - الوزن الجاف - دليل مساحة الأوراق) بتقدم مراحل النمو حتى أوج النمو الخضري (بعد ٧٥ يوم) لينخفض بعدها عدا الوزن الجاف الذي يستمر بالزيادة باستمرار النمو. بلغ أقصى تركيز لليخضور في

كما يبين الشكل أيضاً أن قيم تركيز اليخضور تختلف باختلاف معدلات التسميد الأزوتي وخلال جميع مراحل النمو حيث بلغ أعلى تركيز عند مستوى تسميد آزوتي يلبي كامل احتياج النبات وانخفض بانخفاض معدل التسميد من ١٠٠ % إلى ٥٠ % حتى بدون سماد آزوتي وبفروق احصائية.

عند مستوى معنوية 5% خلال جميع مراحل النمو فكانت قيمة اليخضور 20.24 - 13.72 - 8.22 CCI عند مستويات التسميد الأزوتي (25، 50، 100% N) على التوالي بعد ٢٠ يوم وتزايدت القيمة مع تقدم مراحل النمو لتصبح بعد ٧٥ يوم 32.06 و 22.84 و 10.53 CCI لمستويات التسميد ذاتها على التوالي ، كما يوضح الشكل أيضاً زيادة تركيز اليخضور في أوراق النباتات بتقدم مراحل النمو كانت حتى ٧٥ يوم بعد الزراعة ليبدأ بعدها بالانخفاض تدريجياً على مستوى النبات ككل و في كلتا المعاملتين التسميد الأزوتي والتزود المائي و يعزى هذا الانخفاض إلى إن النباتات وصلت إلى مراحل متقدمة وبدأ اليخضور في الأوراق السفلية بالتهدم التدريجي وبالتالي أدى إلى انخفاض قيمة يخضور النبات ككل .

وعلى ذلك فتحت تأثير عاملي الدراسة (الري والتسميد الأزوتي) على قيمة اليخضور في المجموع النباتي فإن قيمته تتزايد مع تقدم مراحل النمو تحت جميع المستويات المدروسة للعاملين حتى مرحلة أوج النمو الخضري (بعد ٧٥ يوم) لتبدأ بعدها بالانخفاض، هذا وإن قيمة اليخضور في المجموع النباتي الخضري تحت مستوى آزوتي كامل كانت الأعلى مقارنة مع التزود المائي الكامل وخلال جميع مراحل النمو ، بينما كانت قيمة اليخضور في المجموع الخضري النباتي تحت تأثير مستوى ري %25 ا أعلى منها مقارنة مع مستوى التسميد الأزوتي الأدنى %0 N مما يعني أن عامل التسميد الأزوتي يتحكم بقيم اليخضور تحت مستويات مختلفة من التزود المائي.

أما بالنسبة للوزن الرطب للنبات خلال مراحل النمو (الشكل رقم ٢) فإنها تتزايد تحت تأثير عاملي الدراسة كما في اليخضور لكن كان تأثير عامل الري أكبر من تأثير عامل التسميد الأزوتي إذ تأخذ قيم الوزن الرطب خلال مراحل النمو المبكرة (الأولى والثانية) تحت تأثير مستوى ري %100 ا أعلى

الجدول رقم ٢ . الصفات العلفية والخضرية لنباتات الذرة خلال مراحل النمو تحت تأثير التفاعل بين مستويات مختلفة من التسميد الآزوتي و التزود المائي

يوم من الزراعة		20	30	40	47	55	67	75	90	
		المعاملات					اليخضور (CCI)			
1100%	N100%	24.65	26.68	27.38	31.50	31.40	32.83	34.65	34.63	
	N50%	15.13	18.90	19.15	21.38	22.43	25.18	25.38	25.08	
	N0%	9.18	9.38	9.68	9.95	10.45	10.83	11.45	11.20	
150%	N100%	20.25	23.28	24.08	29.83	30.45	32.58	33.35	32.43	
	N50%	13.55	14.33	15.33	19.75	20.68	20.93	22.40	21.60	
	N0%	8.20	8.45	8.85	9.23	9.53	10.10	10.55	10.45	
125%	N100%	15.83	17.33	18.30	22.63	23.63	27.55	28.18	27.45	
	N50%	12.48	13.00	12.95	16.08	17.18	18.48	20.75	19.53	
	N0%	7.28	7.53	7.88	8.23	8.43	8.88	9.58	9.45	
LSD 5%	0.41	0.31	0.25	0.51	0.47	0.50	0.37	0.31		
		الوزن الرطب (غ) في وحدة المساحة المدروسة								
1100%	N100%	68.61	97.00	180.75	623.00	983.60	1157.00	1228.00	1158.00	
	N50%	67.11	75.25	83.75	475.25	600.00	770.00	907.50	855.00	
	N0%	39.28	56.25	97.75	107.50	259.20	274.50	480.00	417.50	
150%	N100%	31.74	41.04	91.50	277.50	514.30	947.75	1058.00	973.75	
	N50%	26.13	34.40	39.36	134.50	292.48	525.00	637.50	548.75	
	N0%	24.46	30.00	34.50	44.25	95.36	256.75	428.75	377.50	
125%	N100%	23.11	26.84	56.79	164.50	328.65	369.75	643.75	526.25	
	N50%	23.03	26.00	35.25	101.50	197.88	320.25	412.50	393.75	
	N0%	4.48	5.40	5.70	48.25	45.01	117.75	138.50	116.25	
LSD 5%	5.59	7.40	8.71	21.70	22.99	62.35	83.30	92.23		
		الوزن الجاف (غ) في وحدة المساحة المدروسة								
1100%	N100%	14.13	20.37	19.65	61.58	114.38	195.94	291.75	335.29	
	N50%	13.78	15.67	10.58	64.43	54.98	124.56	228.21	246.38	
	N0%	8.79	12.06	14.83	15.90	32.40	47.23	106.13	113.08	
150%	N100%	6.99	9.01	10.88	30.66	58.56	153.50	265.95	274.09	
	N50%	5.79	7.88	4.45	18.10	35.37	93.96	147.10	156.98	
	N0%	5.80	7.11	2.08	6.70	13.17	44.51	94.40	98.81	
125%	N100%	4.81	6.19	9.18	19.25	43.09	61.00	149.46	159.97	
	N50%	5.03	5.68	3.78	13.01	27.18	49.62	104.87	111.31	
	N0%	0.91	1.15	0.64	6.34	6.70	21.48	27.16	29.39	
LSD 5%	1.45	1.72	1.16	2.66	9.77	11.50	30.67	6.13		
		دليل مساحة الأوراق								
1100%	N100%	3.02	4.24	7.46	9.09	13.03	13.62	14.10	13.61	
	N50%	2.56	3.09	3.31	7.35	8.54	11.09	11.34	7.56	
	N0%	1.17	1.81	2.95	3.54	5.58	5.95	7.58	6.18	
150%	N100%	1.43	1.64	3.83	6.33	7.85	11.64	11.83	10.11	
	N50%	1.41	2.29	2.59	4.17	5.30	8.55	8.93	7.94	
	N0%	1.06	1.34	1.51	2.78	2.35	3.69	7.64	4.82	
125%	N100%	1.34	1.67	3.53	4.19	6.50	6.59	11.03	8.22	
	N50%	1.34	2.02	2.60	3.06	3.75	5.54	10.78	7.97	
	N0%	0.72	0.93	0.88	1.90	1.07	2.17	2.70	2.13	
LSD 5%	0.30	0.38	0.49	0.50	0.43	0.79	1.22	1.56		

عند دلالة ٥% احصائية ، و بالمثل لصفة الوزن الجاف و لكن حتى عمر ٧٥ يوم من الزراعة فقط .
وبالتالي يمكن القول بأهمية عامل التسميد الأزوتي في التأثير على يخضور النباتات للذرة الصفراء أكثر منه لعامل الري مع تزايد أهمية عامل الري عن التسميد الأزوتي حتى حد معين في التأثير على الصفات العلفية والخضرية الأخرى كالوزن الرطب والجاف ودليل مساحة الأوراق بمعنى أهمية التأثير التفاعلي للري بتوفر السماد الأزوتي على تلك الصفات .

٢- الصفات الطيفية

تم دراسة الانعكاس الطيفي وفق المدى الموجي ٣٥٠ - ٢٥٠٠ نانومتر بفواصل قدره ١ نانومتر عن نباتات الذرة المزروعة تحت تأثير مستويات مختلفة من التسميد الأزوتي والتزود المائي وباستخدام برنامج HySCAP 0.1 تم تحديد القنوات الطيفية التي تعكس تغيرات الصفات العلفية والخضرية تحت تأثير عاملي الدراسة خلال مراحل النمو المختلفة ؛ وفيما يلي أهم نطاقين طيفيين تم تحديدهما واستعراضهما في هذا البحث وهما المجال الطيفي (٦٦٢ - ٦٨٢ نانومتر) الذي مركزه القناة الطيفية التي طول موجتها (٦٧٢ نانومتر) والذي يمثل الأشعة الحمراء وكذلك المجال الطيفي (٨٦٢-٨٨٢ نانومتر) الذي مركزه القناة الطيفية التي طول موجتها (٨٧٢ نانومتر) والذي يمثل الأشعة تحت الحمراء القريبة ثم تم حساب الدليل النباتي الخضري (NDVI).

٢-١- الصفات الطيفية خلال مراحل النمو

يبين الشكل (٣) قيم الانعكاس للمجالين الطيفيين (٦٧٢ - ٨٨٧٢ نانومتر) وقيم دليل الغطاء النباتي NDVI خلال مراحل النمو، حيث ينخفض الانعكاس في المجال (٦٧٢ نانومتر) بتقدم مراحل النمو لتبلغ أداها بعد ٧٥ يوم من الزراعة ثم يبدأ بعدها بالتزايد بشكل كبير بنسبة ١٦٨% عن قيمته في المرحلة السابقة فبلغت قيمة المجال بعد ٧٥ يوم (٠,٠٧٦)

النبات بعد ٧٥ يوم لعاملي الدراسة وتفاعلهما حيث سجلت 34.65 ، 33.35 ، 28.18 CCI عند إعطاء كامل الاحتياجات السمادية الأزوتية 100% N لكل مستويات الري (100% - 50 - 125). مما يدل على قلة التغيرات في قيمة الخضور بالنبات باختلاف مستويات التزود المائي وذلك مقارنة مع التغيرات في مستويات التسميد الأزوتي تحت أي مستوى تزود مائي فمثلاً كانت التغيرات في قيمة الخضور بتغيرات مستوى التزود المائي عند إعطاء كامل الاحتياجات المائية 100% على الشكل الآتي (34.55 - 38.25 - 11.45 CCI) للمستويات المدروسة من عامل التسميد الأزوتي بعد ٧٥ يوم وبالمثل عند مستويي الري الآخرين (٥٠ - ٢٥% I) وهذا يدل على التغير الكبير في قيمة خضور النبات بتغير نسبة التسميد الأزوتي بمعدل أكبر منه عند التغير في إعطاء الاحتياجات المائية لمحصول الذرة الصفراء وبدرجة معنوية احصائية بين جميع مستويات الدراسة للعاملين عند دلالة ٥% وقد أشار إلى منحنى مشابه كل من Wolfe et al 1988 , Schepers et al 1992.

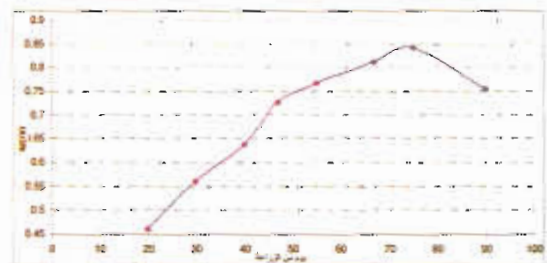
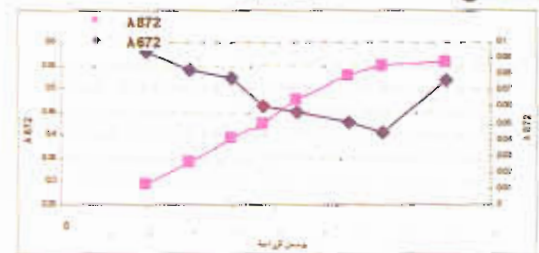
كما نجد من الجدول انخفاض الوزن الرطب للنباتات بتناقص عاملي الري و التسميد عن كامل المتطلبات عند كل مرحلة نمو، حيث انخفض عند أوج النمو وذلك بعد ٧٥ يوم تحت ري 100% I من ١٢٢٨ غ إلى ٩٠٧,٥ غ ثم إلى ٤٨٠ غ وتحت ري ٥٠% I من ١٠٨٥ غ إلى ٤١٢ غ ثم إلى ١٣٨ غ لمستويات التسميد الأزوتي المختلفة (50-100% - 25% N) و بفروق احصائية معنوية عند مستوى دلالة ٥%، وهذا يعني أهمية التأثير التفاعلي بين عاملي الري والتسميد في تحديد قيمة الوزن الرطب للنباتات خلال جميع مراحل النمو مع الأفضلية لعامل الري شرط توفر التسميد الأزوتي .

هذا وقد نهج دليل مساحة الأوراق نفس سلوك صفة الوزن الرطب خلال جميع مراحل النمو تحت التأثير التفاعلي لمستويات العاملين المدروسين (الجدول ٢) وبفروق معنوية بين مستويات الدراسة

٢-٢- الصفات الطيفية خلال حياة النبات تحت تأثير عاملي الري و التسميد الأزوتي

يبين الجدول رقم (٣) قيم الصفات الطيفية خلال حياة النباتات تبعاً لمعاملي الري و التسميد الأزوتي تتناسب قيمة الانعكاس عن نباتات الذرة في المجال (٨٦٧٢) عكساً مع معدل التزود المائي فعند مستوى ري 100% بلغت قيمة الانعكاس ٠.٠٤٦ وازدادت لتبلغ ٠.٠٧٤ مع تناقص مستوى الري إلى 50% و ٠.٠٨٤ عند مستوى 25% كما تتناسب قيمة الانعكاس في هذا المجال عكساً مع معدل التسميد الأزوتي فكانت قيمته عند مستوى تسميد أزوتي 100% N ٠.٠٥٢ و تزايدت مع تناقص كمية السماد الأزوتي المعطى للنبات فبلغت ٠.٠٦٢ عند مستوى تسميد 50% N و ٠.٠٩٠ بدون تسميد أزوتي وبفروق احصائية معنوية عند جميع المستويات وهذا اتفق مع (Woolley, 1971). وقد أظهر التفاعل بين عاملي الدراسة تناسب عكسي أيضاً، فضمن مستوى الري الواحد تزايدت قيمة الانعكاس مع تناقص معدل السماد الأزوتي المضاف للنبات فعند مستوى ري 100% كانت قيمة انعكاس المجال قد بلغت ٠.٠٣٥-٠.٠٤٤ عند مستويات التسميد 0-50-100% N على التوالي، كما سلك مستوى الري 50% السلوك ذاته فبلغت قيمة الانعكاس ٠.٠٥٠-٠.٠٦٣-٠.١١٠ لمستويات التسميد الأزوتي السابقة و كانت قيمة الانعكاس ضمن مستوى الري 25% قد بلغت ٠.٠٧١-٠.٠٧٨-٠.١٠١ على التوالي لمستويات التسميد الأزوتي المختلفة. ومما سبق يمكن الاستنتاج بالتناسب العكسي المعنوي بين الانعكاس الطيفي في المجال (٨٦٧٢) نانومتر عن نباتات الذرة الصفراء خلال مراحل النمو والمستويات المختلفة لعاملي الري و التسميد الأزوتي حيث كان تأثير مستويات التسميد الأزوتي أكبر مع انخفاض مستويات التزود المائي مما يدل على أهمية الارتباط لهذا المجال الطيفي مع مستويات التسميد الأزوتي لنبات الذرة الصفراء . كما يوضح الجدول (٣) أن الانعكاس في المجال (٨٨٧٢) نانومتر يتناسب طردياً مع معدل التزود المائي و التسميد الأزوتي ، فقد بلغت قيمة انعكاس

بينما كانت في المرحلة التي قبلها (٠.٤٥) ، بينما على العكس يتزايد الانعكاس في المجال (٨٨٧٢) نانومتر بتقدم مراحل النمو حتى نفس مرحلة النمو السابقة ليبدأ بعدها بالانخفاض بشكل تدريجي، كما أخذ منحني قيم الـ NDVI نفس سلوك الانعكاس للمجال الطيفي (٨٨٧٢) نانومتر تقريباً خلال مراحل النمو وبالمقارنة بين منحني الصفات الخضرية (شكل ١) وقيم الانعكاس نجد أن هناك تماثل في اتجاه الزيادة خلال مراحل النمو حتى ٧٥ يوم ثم يبدأ بعدها بالانخفاض وذلك لمنحني الانعكاس في المجال (٨٨٧٢) نانومتر وقيم الـ NDVI ، بينما نجد أن الانعكاس عند المجال الطيفي (٨٦٧٢) نانومتر سلك سلوكاً معاكساً تماماً بنفس معدلات التغير لكن بالحالة المعاكسة حتى المرحلة السابقة ذاتها والتي عندها اختلف معدل التغير حيث كان انخفاض الخضور بنسبة (١٠%) فكانت قيمته بعد ٧٥ يوم قد بلغت (CCI 21.81) ووصلت بعد ٩٠ يوم إلى (CCI 21.31) بينما ازداد الانعكاس بنسبة (١٦٨%) وهذا لا يعود للارتباط السلبى بين قيم الانعكاس في المجال الطيفي (٨٦٧٢) نانومتر و قيم الخضور في النبات فقط (حيث هناك معدلات التغير ثابتة) إنما لوجود عامل إضافي هو الانعكاس الناتج عن النورات المذكورة غير الخضراء، وكانت الفسروق باختلافها معنوية احصائياً عند مستوى معنوية ٥% وهذا ما لم يتفق مع Lizaso et al 2004.



الشكل رقم ٣. الصفات الطيفية (٨٦٧٢-٨٨٧٢ - NDVI) خلال مراحل النمو للذرة

التزود المائي أكبر منه للتغير في مستوى التسميد الأزوتي وهذا ما يعني الاستفادة من العلاقة القوية والموجبة بين هذا المجال الطيفي والتزود المائي (جدول رقم ١).

وبالنسبة لدليل الغطاء النباتي فقد سلك نفس سلوك المجال (٧٨٧٢) نانومتر مع المعاملات المدروسة فكان يتزايد مع تزايد السماد الأزوتي وكمية مياه الري المعطاة للنبات فبالنسبة لمستويات الري بلغت قيمة الدليل $٠,٨٤١-٠,٧٣٣-٠,٥٨٦$ عند مستويات الري $(100-50-25)$ وكانت القيم $٠,٨٠٥-٠,٧٤٦-٠,٦٥١$ عند مستويات التسميد الأزوتي $(100-50-100)$ كما أظهر التفاعل العملي تناسباً طردياً أيضاً فبلغت قيمة الدليل $٠,٨٣٩-٠,٧٩٢$ عند مستويات التسميد المختلفة ضمن مستوى ري 100% كما بلغت القيم $٠,٨٢٨-٠,٧٧٤-٠,٥٨٣$ و $٠,٦٥٠-٠,٥٧١-٠,٥٤٧$ لمستويات التسميد السابقة عند مستويي ري $(50\%, 25)$ على التوالي ، و يظهر الجدول أن أعلى قيم للـ NDVI كانت عند مستوي ري 100% ثم 50% وأخيراً 25% ولجميع مستويات التسميد الأزوتي ضمنها، حيث انخفضت بشكل كبير عند مستوى الري 25% حتى عند مستوى تسميد $100\% N$ مما يعني الأهمية البالغة لعامل الري في التأثير على قيم الـ NDVI بالدرجة الأولى والتي تحدد قيمة الانعكاس أيضاً على مستويات التسميد الأزوتي ، لذا يمكن الاستفادة من هذه العلاقة القوية الطردية بين قيم الـ NDVI ومستويات الري والتسميد الأزوتي .

٢-٣- الصفات الطيفية خلال مراحل النمو تحت تأثير عاملي الري والتسميد الأزوتي

يبين الشكل (٤) قيم الانعكاس الطيفي للمجالين (٨٦٧٢) و (٨٨٧٢) نانومتر وقيم الـ NDVI لنباتات النرة الصفراء خلال مراحل النمو تحت تأثير معاملي الري والتسميد ، فكان انعكاس المجال الطيفي (٨٦٧٢) يتناقص في كلا المعاملتين بتقدم مراحل النمو حتى ٧٥ يوم ليبدأ بعدها بالتزايد وبشكل واضح ،

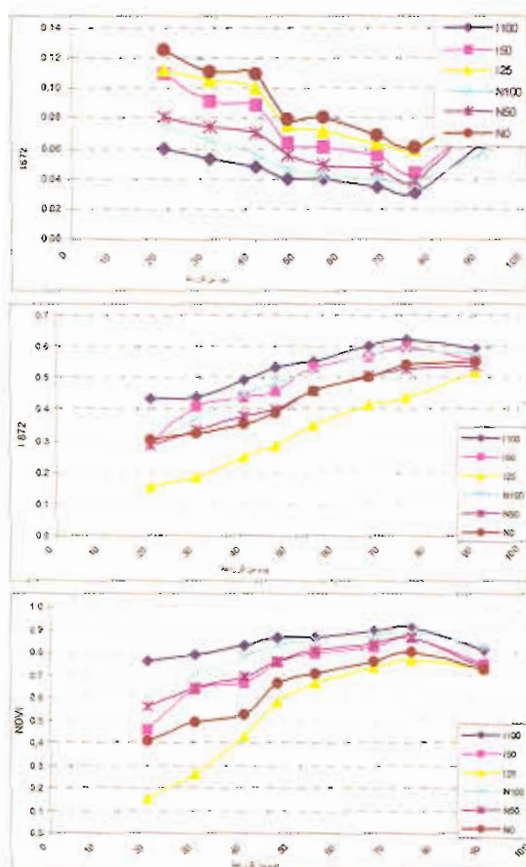
المجال $٠,٥٣٢-٠,٤٨٠-٠,٣٢٢$ عند مستويات الري $(100\% - 50\% - 25\%)$ على التوالي ، كما بلغت قيمة الانعكاس $٠,٤٢٧-٠,٤٢٦-٠,٤٨١$ لمستويات تسميد أزوتي $(100-50-100)$ ، وقد أظهر التأثير التفاعلي تناسباً طردياً أيضاً فتناقصت قيمة الانعكاس ضمن مستوى ري 100% وتناقص كمية السماد فكانت القيمة $(٠,٥٧٧)$ عند مستوى تسميد أزوتي $100\% N$ وتناقصت لتصل $(٠,٥١٧)$ عند مستوى تسميد أزوتي $0\% N$ كما سلك مستوى الري 150% السلوك ذاته فكانت قيمة الانعكاس $٠,٥٣٠-٠,٤٩٤-٠,٤١٧$ عند مستويات التسميد الأزوتي $(100-50-100)$ كما كان الأمر ذاته ضمن مستوى الري 25% وكانت الفروق معنوية عند مستوى ٥% .

جدول رقم ٣. قيم الصفات الطيفية خلال حياة النبات تبعاً لمعاملي التسميد الأزوتي و الري

المعاملات	٦72 ٧	872 ٧	NDVI	
1100%	0.046	0.532	0.841	
150%	0.074	0.48	0.733	
125%	0.084	0.322	0.586	
N100%	0.052	0.481	0.805	
N50%	0.062	0.427	0.746	
N0%	0.09	0.426	0.651	
LSD 5%	0.003	0.009	0.013	
1100%	N100%	0.035	0.577	0.886
	N50%	0.044	0.501	0.839
	N0%	0.06	0.517	0.792
150%	N100%	0.05	0.53	0.828
	N50%	0.063	0.494	0.774
	N0%	0.110	0.417	0.583
125%	N100%	0.071	0.335	0.650
	N50%	0.078	0.286	0.571
	N0%	0.101	0.345	0.547
LSD 5%	0.006	0.019	0.027	

وبمقارنة قيم الانعكاس للمجال (٨٨٧٢) عند مستوى ري 100% ومستوى تسميد أزوتي $100\% N$ واللذان بلغتا $٠,٤٨١-٠,٥٣٢$ على التوالي وكذلك مقارنته عند 25% و $0\% N$ واللذان بلغتا $٠,٤٢٦-٠,٣٢٢$ وهذا ما يعطي حساسية قيم الانعكاس في هذا المجال الطيفي للتغيرات في مستوى

٠٠٠٨٠-٠٠٠٦٩-٠٠٠٦١ خلال مراحل النمو ذاتها و على التوالي.



الشكل رقم ٤. الصفات الطيفية (٦٧٢ λ - ٨٧٢ λ - NDVI) خلال مراحل نمو الذرة تحت تأثير عملي الري والتسميد الأزوتي

كما يبين الشكل السابق قيم المجال الطيفي (٨٧٢ λ) تحت تأثير المعاملتين المدروستين خلال مراحل النمو فنجد تزايد قيمة انعكاس المجال مع التقدم بمراحل النمو في معاملة الري الواحدة بينما كانت تتناقص مع انخفاض معدل الري فكانت القيم عند مستوى ري 100% بلغت ٠٠٠٤٣٤-٠٠٠٤٣٦-٠٠٠٥٣٠-٠٠٠٥٣٣-٠٠٠٦٠٢ خلال مراحل النمو المتتالية وعلى التوالي بينما كانت ٠٠٠٢٩٥-٠٠٠٤٠٩-٠٠٠٤٣٦-٠٠٠٤٥٦

حيث انخفض من قيمة ٠٠٠٥٩ بعد ٢٠ يوم من الزراعة إلى ٠٠٠٣١ بعد ٧٥ يوم عند مستوى ري 100% كما أن معاملتي الري (25-50%) أظهرتا نفس السلوك ، فتناقصت من ٠٠٠٤٤ إلى ٠٠٠٥٩ في المستوى 50% ومن ٠٠٠١١٢ إلى ٠٠٠٥٩ في المستوى 25% خلال نفس مرحلة النمو. بينما تزايدت قيمة الانعكاس في المرحلة الأخيرة بشكل كبير وفجائي وهذا يعود كما ذكرنا سابقاً لأمرين الأول هو بداية انخفاض قيمة اليخضور (انظر الصفات الخضرية - صفة اليخضور خلال مراحل النمو) (شكل ١) لدخوله في مراحل النمو المتقدمة من الطور الإثماري والأمر الثاني الأكثر تأثيراً على هذا المجال الطيفي وهو حجم النورات المذكرة التي تزيد من قيمة الانعكاس في هذا المجال الطيفي ، كما نلاحظ أن قيمة الانعكاس لهذا المجال تتزايد مع انخفاض كمية مياه الري المعطاة للنبات فكانت قيمة الانعكاس أقل ما يمكن عند مستوى ري 100% فكانت القيمة ٠٠٠٥٩-٠٠٠٥٣-٠٠٠٤٧-٠٠٠٤٠-٠٠٠٣٤ خلال مراحل النمو المختلفة على التوالي وازدادت عند مستوى الري 50% لتصل إلى ٠٠٠١١٠-٠٠٠٩١-٠٠٠٨٨-٠٠٠٦٤-٠٠٠٦١-٠٠٠٥٦-٠٠٠٤٤ خلال مراحل النمو وكانت قد ازدادت أيضاً عند مستوى ري 25% لتبلغ ٠٠٠١١٢-٠٠٠٧٥-٠٠٠٧١-٠٠٠٦٤

٠٠٠٥٩ مع التقدم بعمر النبات وقد كانت الفروق معنوية عند مستوى 5% ، أما بالنسبة لقيمة الانعكاس ضمن مستويات التسميد فتناقصت قيمة انعكاس المجال السابق مع تقدم مراحل النمو بينما ازدادت مع انخفاض مستوى السماد الأزوتي المضاف وخلال كافة مراحل النمو المختلفة فعند مستوى تسميد % N 100 كانت القيمة قد بلغت ٠٠٠٧٤-٠٠٠٦٥-٠٠٠٥٥-٠٠٠٤٦-٠٠٠٤٢-٠٠٠٣٩-٠٠٠٣٧ مع تقدم النبات بالعمر وازدادت عند مستوى 50% N وبلغت ٠٠٠٠٨١-٠٠٠٧٤-٠٠٠٧٠-٠٠٠٥٥-٠٠٠٤٩-٠٠٠٤٦-٠٠٠٣٨ عند نفس مراحل النمو كما ازدادت عند عدم إضافة السماد الأزوتي للنبات N 0% لتصل إلى ٠٠٠١٢٦-٠٠٠١١١-٠٠٠١٠٩-٠٠٠٩٧

السابقتين وكانت الفروق ذات معنوية احصائية عند مستوى ٥% .

وبالنسبة لنتيجة من الدراسة لتأثير عامل الري والتسميد الأزوتي خلال مراحل النمو على الصفات الطيفية فإن النتيجة العامة هي ذاتها خلال حياة النبات ككل لسلوك نفس المنحنى العام هذا على كل مراحل النمو من حيث منحنى ارتباط المؤشر الطيفي مع الصفة العلفية والخضرية المدروسة خلال جميع مراحل النمو عدا عن مؤشر الانعكاس الطيفي فقط في المجال (٦٧٢ نانومتر) وبالتحديد بعد ٧٥ يوم وذلك لتأثير وجود حجم النورات المذكورة على هذا المجال بعد تاريخ وجودها ونضجها .

وتبقى نفس الأهمية التي درست في الفقرة السابقة وبالتحديد :

أ - العلاقة العكسية بين المجال (٦٧٢ نانومتر) ومستويات التسميد الأزوتي لكن حتى مرحلة نضج النورات المذكورة لتزداد شدة العلاقة خلال هذه المرحلة وما يليها .

ب - العلاقة الطردية بين المجال (٨٧٢ نانومتر) ومستويات التزود المائي للنباتات خلال جميع مراحل النمو .

ج - العلاقة الطردية بين قيم دليل الغطاء النباتي NDVI ومستويات الري ثم التسميد الأزوتي على النباتات خلال جميع مراحل النمو وقد أشار إلى تأثير الاجهاد المائي على الذرة كل من Blackmer et al 1994 and Gilbert et al 1996.

٣- العلاقات الطيفية - الخضرية

أولاً - ارتباط الصفات الطيفية - الخضرية و العلفية

يبين الجدول (٤) قيم معامل الارتباط بين الصفات الطيفية والصفات الخضرية والعلفية لنباتات الذرة الصفراء ، فكانت قيمة الارتباط بين اليخضور والمجال الطيفي (٦٧٢ نانومتر) أكبر من قيم الارتباط بينه وبين بقية الصفات الطيفية إذ بلغت قيمته

مستوي ري (50 ، 25) على التوالي خلال مراحل النمو نفسها؛ وبالنسبة لمعاملة التسميد الأزوتي نجد أن قيمة انعكاس المجال الطيفي السابق قد ازدادت مع التقدم بالمرحلة ولكن انخفضت مع تناقص مستوى التسميد الأزوتي فكانت القيم عند مستوى تسميد كامل 100% N قد بلغت ٠,٢٩٦ - ٠,٣٦٧ - ٠,٤٤٦ - ٠,٤٨٣ - ٠,٥١٦ - ٠,٥٧١ - ٠,٥٨٨ - ٠,٥٧٨ خلال مراحل النمو المختلفة وتناقصت القيم السابقة مع انخفاض كمية السماد الأزوتي إلى 50% N لتبلغ ٠,٢٨٥ - ٠,٣٣٥ - ٠,٣٩٦ - ٠,٤٥٦ - ٠,٥٠٨ - ٠,٥٢٤ - ٠,٥٣٥ و ٠,٣٠١ - ٠,٣٢٤ - ٠,٣٥٢ - ٠,٣٨٧ - ٠,٤٥٦ - ٠,٥٠٢ - ٠,٥٢٩ - ٠,٥٥١ عند مستوى تسميد 0% N، كما أن قيم الانعكاس لهذا المجال الطيفي بدأت بالتناقص بعد ٩٠ يوم من الزراعة وذلك للأسباب المذكورة سابقاً ولم تظهر الفروق معنوية احصائية بعمر ٢٠ يوم وعمر ٩٠ يوم بينما أظهرت فروقاً معنوية عند بقية المراحل عند مستوى معنوية ٥% لكل من المعاملتين المدروستين .

أما بالنسبة لدليل الغطاء النباتي سلك سلوك المجال (٨٧٢ نانومتر) فازدادت قيمته خلال مراحل النمو وتناقصت مع انخفاض مستوى الري والتسميد الأزوتي فنجد لزيادة قيمته عند الانتقال من مرحلة بداية النمو إلى مرحلة متقدمة منه وتناقصه عند الانتقال من مستوى ري (تسميد أزوتي) إلى مستوى أقل فكانت القيمة عند مستوى الري 100% ا قد بلغت (٠,٧٦١-٠,٩٠٥) بعد ٢٠ يوم (بداية النمو) و ٧٥ يوم (مرحلة متقدمة) بينما تناقصت مع تناقص معدل الري 50% لتصل ٠,٤٥٧-٠,٨٦٢ و ٠,١٥٢-٠,٧٦٢ عند مستوى 25% في نفس المرحلتين؛ أما ضمن مستويات التسميد الأزوتي فكانت قيمة الـ NDVI أكبر ما يمكن عند مستوى تسميد أزوتي 100% N فقد بلغت قيمته ٠,٦٠٠ - ٠,٨٨٢ عند المرحلتين السابقتين و ٠,٥٥٧ - ٠,٨٦٥ و ٠,٤١٠-٠,٧٩٧ عند مستويي التسميد (50 ، 0) N على التوالي عند نفس المرحلتين

ثانياً- المعادلات الرياضية للعلاقات الطيفية -
الخضرية والعلفية

يبين الجدول رقم (٥) قيم معاملات التحديد
والمعادلات الرياضية بين الصفات الخضرية والعلفية
المدروسة والصفات الطيفية المختلفة وحسب قيمة
معامل التحديد فإن أفضل المؤشرات التي تقدر
تغيرات الصفات العلفية والخضرية لنباتات الذرة
الصفراء خلال مراحل النمو هي: طول الموجة
٨٦٧٢ مع قيمة اليخضور وطول الموجة ٨٨٧٢ مع
الوزن الرطب والوزن الجاف أيضاً و NDVI مع دليل
مساحة الأوراق بقيمة هي ٠,٧٢، ٠,٧٦، ٠,٧٤،
٠,٦٩ على التوالي .

الجدول رقم ٥. معاملات التحديد والمعادلات بين
الصفات الطيفية والخضرية العلفية

الصفة	المؤشر الطيفي	عدد البيانات	معامل التحديد	الفضل مؤشر طيفي	المعادلة
CH	٨ 672	288	0.72	0.72	$CH = -14.076Ln$ $(\lambda 672) - 20.909$
	٨ 872	288	0.64	-	-
	NDVI	288	0.61	-	-
FW	٨ 672	288	0.35	0.76	$WF = 4.1076 e^{7.446(\lambda 672)}$
	٨ 872	288	0.42	-	-
	NDVI	288	0.19	-	-
DW	٨ 672	288	0.74	0.74	$WD = 0.6276 e^{7.712(\lambda 672)}$
	٨ 872	288	0.32	-	-
	NDVI	288	0.46	-	-
LAI	٨ 672	288	0.13	0.69	$LAI = 0.4382e$ $3.0721NDVI$
	٨ 872	288	-	-	-
	NDVI	288	-	-	-

ووفق القنوات السابقة تم استنباط المعادلات
الرياضية التي تقدر هذه الصفات العلفية والخضرية
وفق المؤشر الطيفي الأكثر دقة معها كما في الأشكال
(٥، ٦، ٧، ٨).

(-0.85) ومنه نجد الارتباط السلبي القوي والتناسب
العكسي وقد حصل على نفس المنحنى السلبي لكن
على محاصيل أخرى كل من (Tucker 1977 and
1978; Inoue 1988 and Filella et al 1995)

الجدول رقم ٤. قيم معامل الارتباط بين الصفات
الطيفية وبين الصفات الخضرية
والعلفية لنباتات الذرة الصفراء

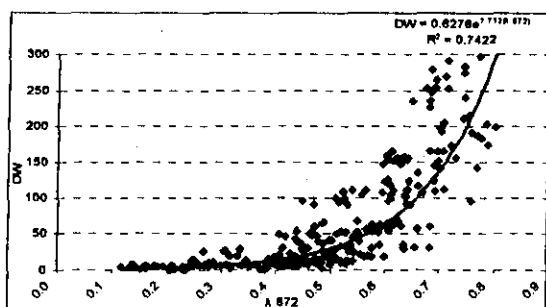
	٨ 672	٨ 872	NDVI
CH	-0.85*	0.80*	0.78*
FW	-0.59*	0.87*	0.65*
DW	-0.44*	0.86*	0.57*
LAI	-0.68*	0.36*	0.83*

كما يبين الجدول أن ارتباط صفة الوزن الرطب
كانت أكبر ما يمكن مع المجال الطيفي (٨ ٨٧٢)
نانومتر فبلغت قيمة الارتباط (0.87) بعلاقة طردية
وهذا ما تماثل مع Gelabert et al 1996 على
محصول الذرة وعلى محاصيل أخرى كما قرره
(Tucker, 1979; Kollenkark et al 1982;
Thenkabail et al 1994 and Li et al 2001a)
بينما اقترح Osborne et al 2002 مجالات أخرى
لتقدير الوزن الرطب خلال مراحل النمو .

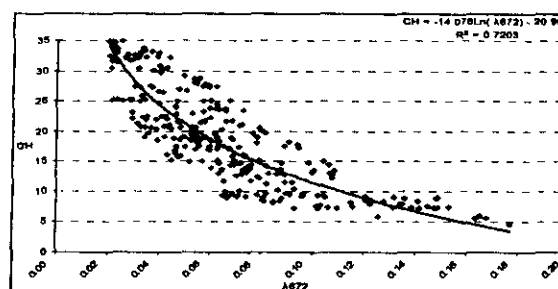
وتناسب صفة الوزن الجاف طردياً مع المجال
الطيفي ذاته وبلغت قيمة الارتباط (0.86) كما حصل
مع (Perumal et al 1999) في محصول القطن
و(Thenkabail et al 1994) في تحديد العلاقة
الطردية .

بينما تناسب دليل المساحة الورقية طرداً مع الدليل
النباتي بقيمة ارتباط بلغت (0.83) متناسقة بذلك مع
ما تم تسجيله على محاصيل أخرى مع كل من
(Hinzman et al 1986; Perumal et al 1999
and Abd El-Gawad et al 2004a,b).

وبانثالي يقدر تركيز اليخضور في النباتات CCI



الشكل رقم ٧. العلاقة بين المجال الطيفي (٨٧٢) (A) والوزن الجاف للذرة

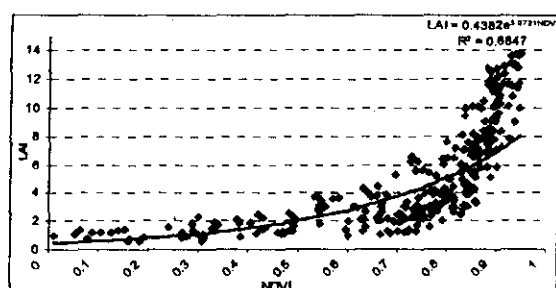


الشكل رقم ٥. العلاقة بين المجال الطيفي (٦٧٢) (A) واليخضور لنبات الذرة

أما دليل مساحة الأوراق لنباتات الذرة الصفراء يتم تقديره اعتماداً على قيم الدليل النباتي بالمعادلة الأسية التالية :

$$LAI = 0.4382e^{3.0721NDVI}$$

..... الشكل رقم (٨)



الشكل رقم ٨. العلاقة بين NDVI و LAI لنبات الذرة

المراجع

أولاً: المراجع العربية

- النشرة الإرشادية لاحتياجات المحاصيل (٢٠٠٦).
وزارة الزراعة والإصلاح الزراعي ، دمشق ،
سوريا
النشرة الإرشادية للاحتياجات والمقننات المائية
(٢٠٠٩). وزارة الزراعة والإصلاح
الزراعي ، دمشق ، سوريا .

اعتماداً على الإنعكاس الطيفي عنها في المجال (٦٧٢) نانومتر بالمعادلة اللوغارتمية التالية :

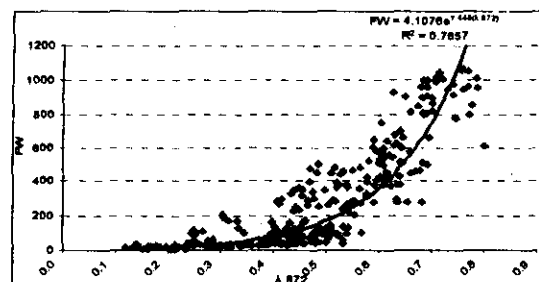
$$CH = -14.076Ln(NDVI) - 20.909$$

..... الشكل رقم (٥)

كما تقدر قيمة الوزن الرطب للنباتات (غ/٧٠٠سم^٢) اعتماداً على الإنعكاس الطيفي عنها في المجال (٨٧٢) نانومتر بالمعادلة الأسية التالية :

$$FW = 4.1076 e^{7.448(NDVI)} FW$$

..... الشكل رقم (٦)



الشكل رقم ٦. العلاقة بين المجال الطيفي (٨٧٢) والوزن الرطب للذرة

وبالمثل يتم تقدير قيمة الوزن الجاف (غ/٧٠٠سم^٢) لنباتات الذرة الصفراء اعتماداً على المجال السابق ذاته بالمعادلة الأسية التالية :

$$DW = 0.6276 e^{7.712(NDVI)}$$

..... الشكل رقم (٧)

- Farre, I. (1998). Maize (*Zea mays* L.) and Sorghum (*Sorghum bicolor* L. moench) Response to Deficit Irrigation, *Agronomy and Modelling*. 150 pp. Ph.D. University of Lledia, (Spain).
- Filella, I.; L. Serrano; J. Serra and J. Penuelas (1995). Evaluating wheat nitrogen status with canopy reflectance indices and discriminate analysis. *Crop Sci.*, 35: 1400-1405.
- Gilbert, M.A.; S. Gandia and J. Mella (1996). Analyses of spectral biophysical relationships for corn canopy. *Rem. Sens. Environ.* 55(1): 11-20.
- Heist, M.V.; W.V. Wijngaarden and H. Huizing (1988). Monitoring Tunisia,s steppes with SPOT. *ITC Journal*, 3: 232-237.
- Hinzman, L.D.; M.E. Bauer and C.S.T. Daughtry (1986). Effects of nitrogen fertilization on growth and reflectance characteristics of winter wheat. *Remote Sens. Environ.*, 19: 47-61.
- Hussnain, A.M. and A.M. Rahman; (1988). Interactive effect of soil water content and antitranspiration (PMA) on some physiological activities in maize plants, *Acta Agronomica Hungaria*, 37(1-2): 19-29. In: *Field Crop, Abstracts*, 42(8): 6046, 1989.
- Ibrahim, N.T.; A.A. Abd-El-Gawad; A.S. Edris and H.K. Zaki (2010). Tow dimensions spectral approach to estimate canopy characteristics - LAI. *Remote Sensing Journal, Damascus, Syria* N(23).
- Inoue, Y. (1988). Remote sensing of the physiological/ecological status of crops. V. Texture analysis of canopy reflectance based on optical density in photographs and remote estimation of leaf chlorophyll concentration by spectral reflectances. *Japanese Journal of Crop Science*, 57 (1), 105-111.
- Kollenkark, J.C.; C.S.T. Daughtry; M.E. Bauer and T.L. Housley (1982). Effects of cultural practices on agronomic and reflectance characteristics of soybean canopies. *Agron. J.* 74: 751-758.
- Li, H.; R.J. Lascano; E. Barnes; J. Booker; L.T. Wilson; E. Segarra and K.F. Bronson (2001a). Temporal patterns of cotton reflectance and NDVI-days lint yield modeling. In: Dugger, P. and D. Richer (ed.) *Proc. Beltwide Cotton Conf., Anaheim, CA. Natl. Cotton Council of Am., Memphis. TN.* 9-13 Jan. 2001. pp. 590-594.
- زينو. ريم; فيصل. بكور. وعصام. الخوري. (٢٠٠٧). تأثير مستويات مختلفة من الري في الغلة الحبية ودليل المسطح الورقي لبعض الطرز الوراثية من الذرة الصفراء. مجلة جامعة البعث. المجلد ٢٩. العدد ١٣; ١١٥-١٤٤.
- جودة. عادل و بدر. جابر. (١٩٩٧). الإجهاد الرطوبي (الجفاف) وعلاقته بالمراحل الفيزيولوجية للنبات. المركز العربي لدراسة المناطق الجافة والأراضي القاحلة (أكساد)، العدد ١٧. أيلول ١٥-٢٣.
- ثانياً: المراجع الأجنبية
- Abd-El Gawad, A.A; A.S. Edris; H.K. Zaki and N.T. Ibrahim (2004a). Estimation of soybean yield and vegetation amount from canopy reflectance measurements. *Arab Univ. J. Agric. Sci. Cairo*, 12(1), 221-240.
- Abd-El-Gawad, A.A; A.S. Edris; H.K. Zaki; and N.T. Ibrahim (2004b). Spectral reflectance of sunflower plants in relation to yield and some canopy characteristics. *Arab Univ. J. Agric. Sci. Cairo*, 12(1), 241-258.
- Blackmer, T.M.; J.S. Schepers and G.E. Varvel (1994). Light reflectance compared with other nitrogen stress measurements in corn leaves. *Agronomy J.* 86: 934-938.
- Bausch, W.C., and H.R. Duke (1996). Remote sensing of plant nitrogen status in corn. *ASAE* 39, 1869-1875.
- Calera, A.; P.J. Gonzales and J. Mella (2004). Monitoring barley and corn growth from remote sensing data at field scale. *Int. J. Rem. Sens.* 25(1): 97-109.
- Duke, C. and M. Guèrif (1998). Crop reflectance estimate errors from the SAIL model due to spectral and temporal variability of canopy and soil characteristics. *Remote Sens. Environ.*, 66: 286-297.
- Duke, C. and M. Guèrif (1998). Crop reflectance estimate errors from the SAIL model due to spectral and temporal variability of canopy and soil characteristics. *Remote Sens. Environ.*, 66: 286-297.
- Elliott, G.A. and K.L. Regan (1993). Use of reflectance measurements to estimate early cereal biomass production on sandplain soils. *Australian Journal of Experimental Agriculture*, 33(2): 179-183.

- Li. H.; R.J. Lascano; R.M. Barnes; J. Booker; L.T. Wilson; K.F. Bronson; and E. Segarra (2001b). Multispectral reflectance of cotton related to plant growth, *Soil Water and Texture, and Site Elevation*. *Agron. J.* 93: 1327-1337.
- Lizaso, J.I.; W.D. Batchelor and M.E. Westgate (2002). Using the normalized difference vegetation index and a crop simulation model to predict soil spatial variability. *Trans. ASAE.* 45(4): 1217-1222.
- Myers, V.I. (1983). Remote sensing applications in agriculture, In: *Manual of Remote Sensing, Second Edition*, edit by R.N. Colwell. (American Society of Photogrammetry, the Sheridan Press), pp. 2111-2227.
- Neale, C.M.U. and W. Bausch (1983). Crop coefficients derived from reflected canopy radiation. Paper, *American Society of Agricultural Engineers*, 83: 2510-2527.
- Osborne, S.L.; J.S. Schepers; D.D. Francis and M.R. Schlemmer (2002). Use of spectral radiance to estimate in season biomass and grain yield in nitrogen and water stressed corn. *Crop. Sci.* 42(1): 165-171.
- Perumal, N.K.; M.R.K. Rao; T.V. Kathane; M.K. Mesharam; N.K. Taneja; M.V. Venugopal; R.P. Ajai. Dubey and A.K. Basu (1999). Canopy spectral reflectance in cotton in relation to yield. *Indian Journal of Plant Physiology*, 4: 63-64.
- Rouse, J.W.; R.H. Haas; J.A. Schell; D.W. Deering and J.C. Hardland (1974). Monitoring the vernal advancement of natural vegetation. p. 371. *NASA/GSFC Final Report, Greenbelt, Maryland, USA.*
- Schepers, J.S.; T.M. Blackmer and D.D. Francis (1992). Predicting N fertilizer needs for corn in humid regions : using chlorophyll meters . edit by : Bock, B.R. and K.R. Kelley (eds.): Predicting N fertilizer needs for corn in humid regions. *Bull. Y-226.* pp. 105-114. *National Fertilizer and Environmental research center, Tennessee Valley Authority. Muscle Shoals, AI 35660(1992).*
- Thenkabail, P.S.; A.D. Ward and J.G. Lyon (1994). Impacts of agricultural management practices on soybean and corn crops evident in ground-truth data and thematic mapper vegetation indices. *ASAE.* 37: 989-995.
- Thenkabail, P.S.; R.S. Smith and E.D. Pawgate (1999). Hyperspectral vegetation indices and their relationship with agricultural crop characteristics. *Rem. Sens. Environ* 71(2) : 158-182.
- Tucker, C.J. (1977). Spectral estimation of grass canopy variables. *Remote Sens. Environ.*, 6: 11-26.
- Tucker, C.J. (1978). A comparison of satellite sensor bands vegetation monitoring. *Photogram. Eng. And Remote Sens.*, 44: 1369-1380.
- Tucker, C.J. (1979). Red and photographic infrared linear combinations for monitoring vegetation. *Remote Sens. Environ.*, 8: 127-150.
- Wanjura, D.F. and J.L. Hatfield (1986). PAR and IR reflectance, transmittance, and absorptance of four crop canopies. *American Society of Agricultural Engineers.* 29: 143-150.
- Wolfe, D.W.; D.W. Henderson; T.C. Hsiao and A. Alvino (1988). Interactive water and nitrogen effects on senescence of maize. II. Photosynthetic decline and longevity of individual leaves. *Agron. J.* 80: 865-870.
- Woolley, J.T. (1971). Reflectance and transmittance of light by leaves. *Plant Physiol.* 47: 656-662.
- Zaki, H.K.; A.A. Abd-El-Gawad; A.S. Edris and N.T. Ibrahim (2001). Spectral reflectance of faba bean plants in relation to growth and yield. *Arab Univ. J. Agric. Sci. Cairo*, 9(1): 245-265.
- Yordanow, T.I. (2002). Influence of different soil moisture on anatomy of maize leaves and ultrastructure of chloroplasts 2002. Department of Botany, Faculty of Biolog, Sofia hiversity, institute of plant physiology, Bulgarian Academy of Sciences, 4(3): 122-132.



USING SPECTRAL REFLECTANCE DATA OF CORN IN ESTIMATING FODDER AND VEGETATION CHARACTERISTICS

[11]

Hmeidan¹, Gh.Y.; M.A. Abood² and N.T. Ibrahim¹

1- General Organization of Remote Sensing (GORS), Syria

2- Faculty of Agriculture, Damascus University, Damascus, Syria

Keywords: Spectral reflectance; (NDVI) Normalized Difference Vegetation Index; Corn; Fodder and vegetation characteristics; Spectral models

ABSTRACT

The corn crop (*Zea mays*) was planted under levels of irrigation [100% (6991m³/h), 50 and 25%] and nitrogen fertilization [100% (120 fertilizing unite/h), 50 and 25%]. Spectral reflectance data are measured during wavelength rang from 350 to 2500 nm in 2150 wave bands where width band is 1 nm. All wave bands were analysed and summarized in spectral channels and NDVI is derived. Simultaneously spectral, vegetation and pasture data were collected each 7-15 days from planting.

Results indicated to

- (1) Inversely relationship between the channel 672 nm and N fertilizing levels until silking after that the relationship increased strongly.
- (2) Direct relationship between the channel 872 nm and irrigation levels during growth stages.
- (3) Direct relationship between NDVI with irrigation levels firstly and N fertilizing during growth stages.
- (4) Spectral models were designed and suggested to estimate some fodder and vegetation characteristics during corn growth; as chlorophyll (CH): $CH = -14.076 \ln(\lambda 672) - 20.909$; fresh weight (FW): $FW = 4.1076 e^{7.448(\lambda 872)}$. Dry weight (DW): $DW = 0.6276 e^{7.712(\lambda 872)}$, and leaf area index (LAI): $LAI = 0.4382e^{3.0721NDVI}$.

(Received June 22, 2010)

(Accepted September 15, 2010)